

LASERSKO POVR[INSKO KALJENJE JEKEL TER LASERSKO PRETALJEVANJE POVR[INE SIVE IN NODULARNE LITINE

LASER HARDENING OF STEEL AND MELT-HARDENING OF GRAY AND NODULAR IRON

JANEZ GRUM, R. [TURM, P. @EROVNIK

Fakulteta za strojni{tvo, A{kter-eva 6, 1000 Ljubljana

Prejem rokopisa - received: 1997-10-01; sprejem za objavo - accepted for publication: 1997-12-19

Po letu 1970 zasledimo v strokovni literaturi {tevilne raziskave razli-nih laserskih obdelovalnih procesov kot tudi njihove {tevilne aplikacije. Dana{nje stanje razvoja in uporabe je, da prevladujejo procesi laserskega rezanja in varjenja, medtem ko so le redke aplikacije v tehniki pobolj{anja povr{inskih lastnosti materialov. V prispevku bodo prikazane nekatere na{e izku{nje pri laserskem utrjevanju s pretaljevanjem povr{inskih plasti sive in nodularne litine kot tudi kaljenja jekel.

Klju-ne besede: lasersko povr{insko kaljenje, lasersko utrjevanje s pretaljevanjem, jeklo, siva litina, nodularna litina

Since 1970 a number of investigations have been published on applications of laser in different machining processes and generally in engineering. The present state in the development and in the applications shows that the prevailing laser technologies are laser cutting and laser welding while applications in the field of heat treatment of surface properties of materials are still scarce. The contribution will present some experiences in researching the use of laser in the field of laser surface melt-hardening on gray and nodular irons and surface layer hardening by the method of transformation hardening.

Key words: laser surface hardening, laser melt-hardening, steel, cast iron, nodule iron

1 UTRJEVANJE S PRETALJEVANJEM POVR[INSKE PLASTI

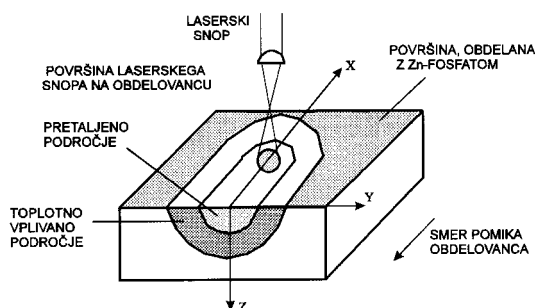
Pri sivi in nodularni litini s perlitno-feritno oziroma feritno-perlitno matrico se pri klasi-nih na-inih povr{inske topotne obdelave pojavijo te'ave pri zagotavljanju homogene matrice po kaljenju. Zato tudi ne moremo zagotoviti 'elenega poteka mikrordote po globini kaljene plasti in s tem ne dose'emo 'eleno obrabne od-pornosti. Tako v svetu 'e slabo desetletje potekajo {tevilne raziskave pretaljevanja povr{inske plasti razli-nih vrst sive in nodularne litine kot tudi razli-nih vrstah malo ali celo mo-no legiranih litin¹⁻⁵. Izjemno fina in homogena mikrostruktura v povr{inskem pretaljenem stanju daje zelo enakomerno mikrordoto v tej plasti, medtem ko v ve-ji globini dose'emo nehomogeno in zna-ilno kaljeno mikrostrukturo z izrazitim odstopanjem mikrordote od srednje vrednosti. Zanimivo je, da pri dinami-no obremenjenih delih in ob isto-asni zahtevi po obrabni odpornosti le-teh dose'emo izjemno dobre rezul-tate. Zato so bile po letu 1990 realizirane {tevilne aplikacije v velikoserijski proizvodnji zelo zahtevnih delov v avtomobilski industriji, kot so npr. odmi-ne in kolen-aste gredi ter drugi deli. Gladkost povr{ine pretaljene plasti in majhne notranje napetosti med topotno obdelavo in tudi prej omogo-ajo relativno plitek odvzem pretaljenega povr{inske plasti z bru{enjem, da dose'emo zahtevane lastnosti povr{ine brez deformacije delov. Na **sliki 1** je prikazan postopek utrjevanja s pretaljevanjem tanke povr{inske plasti z laserskim snopom. Zna-ilno za ta postopek utrjevanja je, da segrejemo tanko povr{insko plast nad temperaturo taljenja. @eleni vnos energije pri

dani mo-i laserskega izvira dose'emo s spreminjanjem opti-nih in kinemati-nih razmer. Zaradi hitrega pomika obdelovanca dose'emo hitro segrevanje in ohlajanje, ki ustvari v tanki povr{inski plasti modificirano mikrostruktur⁶⁻⁹.

2 MIKROSTRUKTURA MODIFICIRANE POVR[INSKE PLASTI PO PRETALJEVANJU

Mikrostrukturne spremembe pri topotni obdelavi litine in fe prav posebno pri utrjevanju s pretaljevanjem povr{inske plasti so odvisne od poteka temperturnih ciklov pri segrevanju in ohlajanju. Pri laserski obdelavi s pretaljevanjem povr{ine dobimo modificirano plast, ki jo sestavljata dve zna-ilni mikrostrukturi coni, in sicer:

- pretaljena cona
- topotno vplivana ali kaljena cona.



Slika 1: Shemati-ni prikaz postopka laserskega povr{inskega utrjevanja s pretaljevanjem povr{ine
Figure 1: Schematic presentation of laser surface melt-hardening

2.1 Pretaljena cona

Na mikrostrukturo pretaljene cone vpliva dele' raztopljjenega grafita v talini in hitrost ohlajanja povr{inske plasti. Zaradi kratkega interakcijskega ~asa laserskega snopa z obdelovancem se pogosto pojavi nepopolno razapljanje grafita v talini. V kopeli taline prihaja do hidrodinami-nih in hidrostati-nih razmer, ki vplivajo na razapljanje in gibanje grafitnih lusk ali nodulov proti povr{ini pretaljene plasti. Iz poznavanja velikosti grafita pred pretaljevanjem povr{inske plasti in po njem lahko ugotovimo, kako je potekalo razapljanje grafita in kak{en je njegov vpliv na mikrostrukturo v pretaljeni plasti. Vsebnost ogljika v pretaljeni coni se zmanj{a zaradi oksidacije in uparjanja grafita. Zelo kompleksne hidrodinami-ne in termodinami-ne razmere v kopeli taline vplivajo na nastanek mikrostrukture v nastali pretaljeni coni. Z difrakcijo rentgenskih 'arkov v pretaljeni plasti (**tabela 1**) smo z opti-no mikroskopijo ugotovili, da je mikrostruktura sestavljena iz ledeburita z dendriti zaostalega avstenita, manj{ega dele'a finozrnatega martenzita na prehodu med pretaljeno in kaljeno cono in lokalno v povr{ju {e manj{ega dele'a neraztopljenega grafita (**slika 2**).

Tabela 1: Rezultati fazne analize lasersko pretaljenega povr{inske plasti sive litine Grade 200 in nodularne litine 400-12, izra'eni v %

Table 1: Results of X-ray diffraction of laser remelted layer on the surface of gray iron Grade 200 and nodular iron 400-12 in %

Material (ISO)	zaostali avstenit	martenzit	'elezov karbid	oksidi 'eleza	grafit
Grade 200	28	20	46	6	/
400-12	34	28	26	7	5

Med strjevanjem pretaljene plasti rastejo dendriti avstenita v smeri proti povr{ini, kar ustreza smeri prevajanja topote v preostali hladni del obdelovanca. Izjemno hitro ohlajanje tanke pretaljene povr{inske plasti sive in nodularne litine lahko povzro{i v njej naslednje efekte:

- nepopolno raztopitev krogelnega grafita pri nodularni litini
- prerazporeditev neraztopljenih nodulov grafita zaradi vzgonskih in hidrodinami-nih sil
- popolno raztopitev luskastega grafita pri sivi litini zaradi ugodnega razmerja med povr{ino in volumenom
- brazdavost na povr{ini sive litine z luskastim grafitom, ki se pojavi le pri zelo po-asnem gibanju laserskega snopa po povr{ini obdelovanca zaradi toka kopeli taline okoli laserskega snopa in zaradi delovanja tlaka za{~itnega plina na povr{ino taline
- nastanek poroznosti v pretaljeni coni sive litine zaradi uparjanja grafitnih lusk in me{anja taline. Zaradi me{anja taline in zaradi hitrega ohlajanja materiala ostanejo plini ujeti v pretaljeni coni
- razpoke v pretaljeni coni sive litine se pojavijo zaradi temperaturnih in mikrostrukturnih napetosti neposredno po strjevanju, ko ima material relativno nizko mejo te-ensa.

Rezultati mikrostrukturne analize pretaljene povr{inske plasti so potrdili, da je siva litina z luskastim grafitom bistveno bolj ob-utljiva za izbiro optimalnih obdelovalnih razmer. Metalografska analiza in ocenjevanje stanja povr{ine pri pretaljevanju sive litine so pokazali, da je optimalna hitrost pomika laserskega snopa in/ali obdelovanca pri izbrani mo-i ve-ja od 24 mm/s. Nasprotno pa se pri pretaljevanju nodularne litine talina vede precej bolje, saj ne prihaja do tako intenzivnega me{anja taline, kar daje po obdelavi zelo gladko povr{ino. Posledica zelo stabilnih razmer pri pretaljevanju povr{inske plasti nodularne litine je, da lahko izbiramo hitrosti pomika laserskega snopa in/ali obdelovanca v mnogo ve-jem razponu. Dobro kvaliteto povr{ine, 'eleno mikrostrukturo in potek mikrotrdote v pretaljeni coni dobimo 'e pri hitrostih pomika ve-jih od 2 mm/s. Glede na izbiro hitrosti pomika lahko dobimo razli-ne vnose energije, s katerimi vplivamo predvsem na globino pretaljene cone.

2.2 Toplotna vplivana ali kaljena cona

V toplotno vplivani ali v-asih tudi tako imenovani kaljeni coni potekajo samo fazne transformacije v trdnem stanju. Osnovna perlitno-feritna mikrostruktura se pri segrevanju transformira v avstenit s koncentracijskim gradientom od luske ali nodula grafita. Nehomogeni avstenit se pri ohlajjanju transformira v martenzit z zaostalim avstenitom in v ferit. Pri sivi litini s perlitno matrico sestavlja toplotno vplivano cono luske grafita v martenzitni matrici z zaostalim avstenitom. Pri nodularni litini s perlitno-feritno matrico pa je toplotno vplivana cona po pretaljevanju sestavljena iz martenzitne matrice z zaostalim avstenitom in feritom z noduli grafita. Zaradi feritne faze v matrici nodularne litine nastanejo pri segrevanju in ohlajjanju v toplotno vplivani



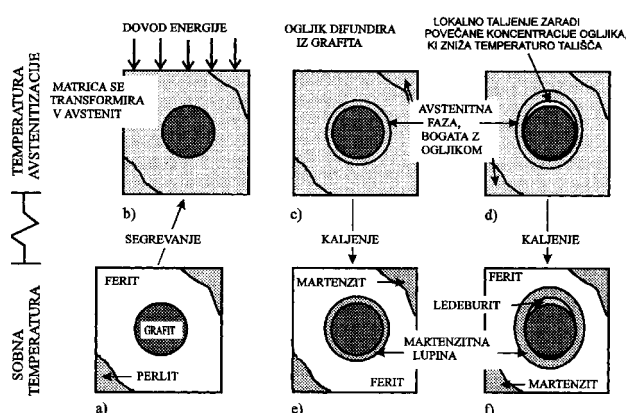
Slika 2: Mikrostrukturni posnetek pretaljene cone, pove-ava 500x
Figure 2: Microstructure of the remelted zone, 500x

coni okoli grafitnih nodulov trde martenzitne lupine. Pogoj za nastanek martenzitnih lupin je poleg feritne faze okoli nodulov grafita potrebna tudi zadostna hitrost segrevanja preko temperature avstenitizacije in tudi dovolj velika hitrost ohlajanja. Ker poteka celoten proces zelo hitro, se utegne z ogljikom obogatiti le tanj{a avstenitna plast okoli grafitnega nodula. Zaradi velike hitrosti ohlajanja pa dose'emo, da se z ogljikom obogatena avstenitna lupina transformira v martenzitno fazo. Na **sliki 3** je v shematski obliki prikazan nastanek martenzitnih lupin okoli grafitnega nodula po laserskem utrjevanju s pretaljevanjem povr{ine. Na **slikah od 3a do 3d** so prikazane mikrostruktурne spremembe pri segrevanju z laserskim snopom, medtem ko je na **sliki 3c** prikazana okolica grafita v trdnem stanju. S **slike 3d** pa lahko ugotovimo, da je zaradi pove-ane koncentracije ogljika pri{lo do zni' anja talilne temperature litine, zato je nastalo lokalno pretaljevanje v ozkem pasu okoli nodula grafita. Tako dobimo lahko poleg martenzitne {e tako imenovano ledeburitno lupino, kar je v shemati~ni obliki prikazano na **sliki 3f**.

Na **sliki 4** je prikazan mikrostrukturni posnetek toplotno vplivane cone, v kateri so dobro vidne martenzitne lupine okoli grafitnih nodulov in v nekaterih primerih {e ledeburitne lupine. Rezultate analize oddaljenosti grafitnih nodulov od povr{ine glede na velikost martenzitnih in eventualno ledeburitnih lupin so podani v delu⁶. Eksperimentalne rezultate smo preverili z izra-uni po difuzijskih ena-bah in ugotovili zelo dobro medsebojno ujemanje.

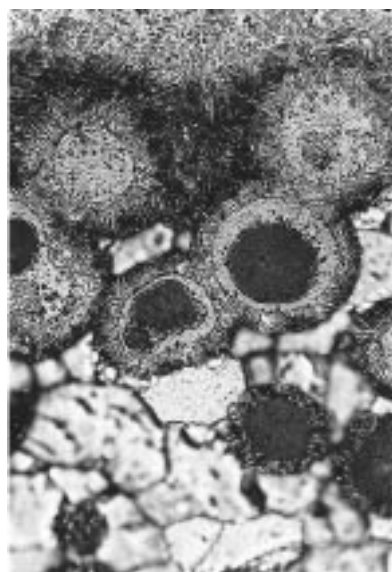
3 ZAOSTALE NOTRANJE NAPETOSTI PO UTRJEVANJU S PRETALJEVANJEM POVR[INE

V sklopu integritete povr{ine obdelovanca po razli-nih postopkih laserskega utrjevanja povr{inske plasti se poleg analiz mikrostrukture in mikrotrdote pogosto priklju-ijo {e analize trajne dinami-ne trdnosti delov in zaostalih notranjih napetosti. Trajna dinami-na



Slika 3: Shematski prikaz nastajanja martenzitnih in ledeburitnih lupin okoli grafitnih nodulov v topotno vplivani coni

Figure 3: Formation of hard martensite and ledeburite shells around a graphite nodule in the heat affected zone



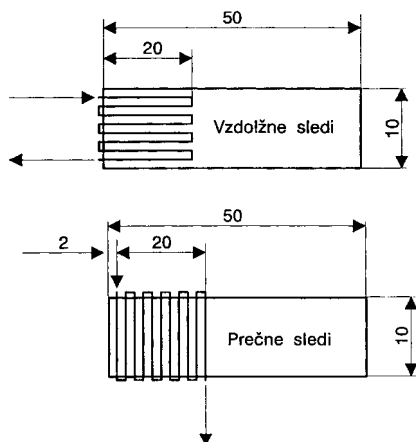
Slika 4: Mikrostrukturni posnetek topotno vplivane cone, pove-ava 500x

Figure 4: Microstructure of the heat affected zone, 500x

trdnost delov je odvisna tudi od vrste in postopka povr{inskega utrjevanja. ^eprav so {tevili avtorji analizirali razli-ne na-inje povr{inskega utrjevanja na razli-nih materialih in jih tudi razvili do industrijskih aplikacij, pa v strokovni literaturi le redko zasledimo vpliv na-inja vodenja laserskega snopa po povr{ini obdelovanca. Postopek merjenja zaostalih notranjih napetosti v povr{inski plasti smo zasnovali na relaksacijski metodi, pri kateri na osnovi izmerjene deformacije preizku{anca lahko ugotovimo oziroma izra-unamo, kak{ne so notranje napetosti v povr{inski plasti.

Merjenje zaostalih notranjih napetosti smo opravili na 4 mm debelih plo{-atih preizku{ancih {irine 10 mm in dol'ine 50 mm. Na-in vodenja laserskega snopa je v vzdol'ni smeri 'agast "cik - cak" na dol'ini 20 mm (**slika 5a**) in prav tak v pre-ni smeri po celotni {irini preizku{anca in na isti dol'ini (**slika 5b**). Povr{ina preizku{ancev je bila obdelana z Zn - fosfatom z namenom, da se pove-a absorpcija laserske svetlobe pri interakciji z obdelovancem. Pri vodenju laserskega snopa po povr{ini obdelovanca smo zagotovili 30-odstotno prekrivanje pretaljene plasti.

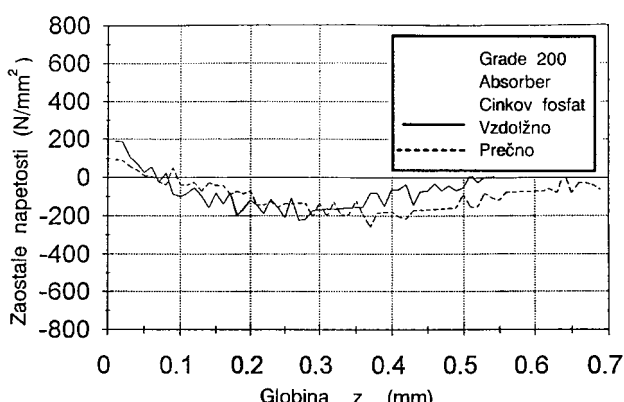
Na **sliki 6** je prikazan potek zaostalih napetosti za oba na-inja vodenja laserskega snopa po povr{ini preizku{anca iz sive litine Grade 200 in na **sliki 7** za nodularno litino 400-12. Pri pretaljevanju povr{inske plasti imamo pretaljeno in topotno vplivano cono, od katerih vsaka po svoje vpliva zaradi sestave mikrostrukture na volumske spremembe in s tem na zaostale notranje napetosti. V splo{nem lahko ugotovimo, da je dele' ledeburita z zaostalim avstenitom in manj{im dele' em martenzita v pretaljeni coni obeh litin zelo podoben, zato lahko pri-akujemo tudi zelo podobno velikost in potek zaostalih notranjih napetosti. Izra-unane



Slika 5: Geometrija preizkušanca in načini vodenja laserskega snopa:
a) 'zag-zag' ("cik - cak") v vzdolžni smeri; b) 'zag-zag' ("cik - cak") v prečni smeri

Figure 5: Workpiece geometry and different travelling ways of laser beam: a) zig-zag in longitudinal direction; b) zig - zag in traverse direction

zaostale notranje napetosti na površini so za sivo in nodularno litino natezne in nato v globini pod 100 µm preidejo v tlačne. Kakor ne bodo notranje napetosti v večjih globinah, je odvisno v največji meri od načina priprave oziroma obdelave preizkušancev. Izkazalo se je, da je potek zaostalih napetosti zelo podoben in skoraj neodvisen od načina vodenja laserskega snopa kot tudi neodvisen od načina priprave preizkušancev z absorberjem. Odstopanja pri izmerjenih notranjih napetostih lahko pripomemo zmanjšanemu deležu grafita v pretaljeni coni zaradi uparjanja in razapljanja grafita v talini. Po ohlajanju kopeli taline nastane v pretaljeni coni cementit v avstenitni osnovi, ki vpliva na zmanjšanje volumna. Zato dobimo v tanki površinski plasti pretaljene cone povečano koncentracijo grafita in drugačno napetostno stanje kot na spodnjem delu pretaljene cone. Razlike v lokalnih notranjih napetostih na mikronivoju lahko



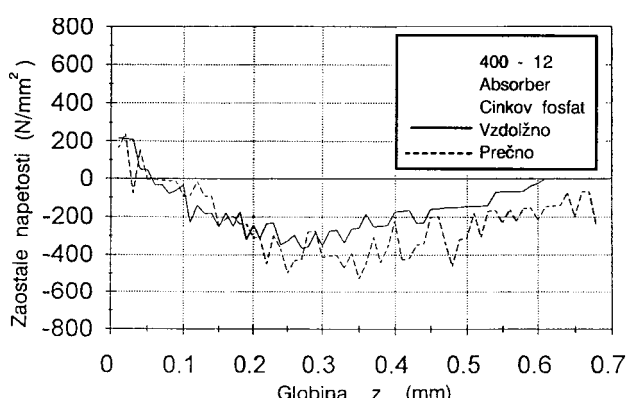
Slika 6: Zaostale napetosti po utrjevanju sive litine Grade 200 s pretaljevanjem površinske plasti

Figure 6: Residual stresses in gray iron Grade 200 after surface melt-hardening

izmerimo z rentgensko difrakcijsko metodo, medtem ko nam daje relaksacijska metoda povprečno velikost zaostalih notranjih napetosti na obravnavanem preizkušanca v posameznih smereh koordinatnega sistema. Da ne bi povzročili vnačanja novih notranjih napetosti z mehanskimi procesi odvzemanja napete plasti, smo se odločili za elektrokemični odvzem materiala preizkušanca na mestu merjenja zaostalih notranjih napetosti. Osnovni princip te merilne metode je, da odstranimo napeto plast na mestu, kjer 'elimo' meriti zaostale napetosti. Zaradi elektrokemičnega razapljanja napete plasti se poruči ravnotežno stanje, ki ima za posledico vzpostavljanje novega. Posledice le-tega so tudi deformacije, ki jih lahko merimo z različnimi senzorji. V načem primeru smo se odločili za njihovo merjenje z uporavnimi merilnimi listi, ki smo jih po ustrezni fizikalnem modelu z ustrezno programsko podporo preračunali v napetosti. Ključni problem pri izračunu zaostalih notranjih napetosti je bil, kako v določenem trenutku določiti globino odvzema materiala preizkušanca. Postopek je enostaven, saj je zasnovan na odvzem materiala oziroma razapljanje preizkušanca linearno.

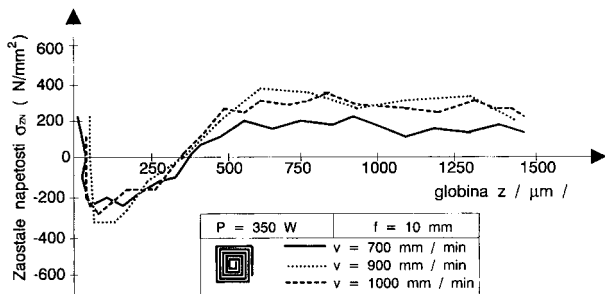
4 ZAOSTALE NOTRANJE NAPETOSTI PO LASERSKEM POVR[INSKEM KALJENJU RAZLI^NIH JEKEL

Pri laserskem površinskem kaljenju tanko površinsko plast segrejemo preko temperature avstenitizacije. Izbrali smo volfram-kromovo jeklo, namenjeno za izdelavo različnih delov orodij za delo v hladnem stanju, ki ga proizvaja Metal Ravne, poznan pod oznako OSIKRO special. Jeklo ima odlično rezalno sposobnost, dobro 'ilavost' in vzdržljivost pri dinamičnih oziroma udarnih obremenitvah. Jeklo je bilo le površinsko kaljeno s prehodom laserskega snopa po površini obdelovalca. Načini vodenja laserskega snopa po površini obdelovalca so bili:



Slika 7: Zaostale napetosti po utrjevanju nodularne litine 400-12 s pretaljevanjem površinske plasti

Figure 7: Residual stresses in nodular iron 400-12 after surface melt-hardening

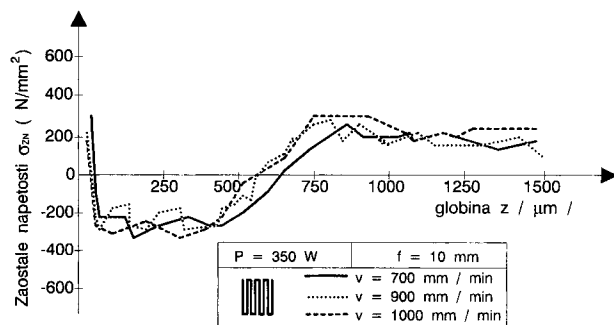


Slika 8: Potek zaostalih napetosti po laserskem povr[inskom kaljenju (oglata spirala)

Figure 8: Residual stresses profile below the surface after laser surface hardening (square spiral)

- vodenje po oglati spirali z za-ekom v sredini kaljenega podro-ja
 - vodenje v 'agasti "cik - cak" obliki v pre-ni smeri kaljenega podro-ja
 - vodenje snopa po {tevilnih zaporednih koncentri-nih krogih s postopnim pove-evanjem premera sledi.
- V vseh omenjenih primerih smo vodili laserski snop tako, da smo zagotovili 30% prekrivanje sosednjih kaljenih sledi.

Na **slikah 8 do 10** so prikazani poteki in vrednosti zaostalih napetosti za obravnavano jeklo po laserskem povr[inskom kaljenju. Izbrali smo mo- laserskega izvira 350 W, gori{no razdaljo le-e 62,5 mm z defokusom 10 mm in razli-ne hitrosti pomikov obdelovalca proti laserskem snopu: 700, 900 in 1000 mm/min. Tako smo dosegli razli-ne vnose energije v povr[insko plast obdelovalca, ki dajejo razli-no maksimalno temperaturo na povr[ini in s tem tudi razli-no globoke in {iroke kaljene sledi. Na slikah so prikazane porazdelitve zaostalih notranjih napetosti v odvisnosti od globine topotno obdelane povr[ine. Rezultati ka'ejo zelo podoben potek izmerjenih zaostalih notranjih napetosti, ~eprav so bili izbrani zelo razli-ni na-ini vodenja laserskega snopa po povr[ini obdelovalca. V obeh primerih smo dobili zelo podobne poteke in vrednosti nateznih zaostalih napetosti



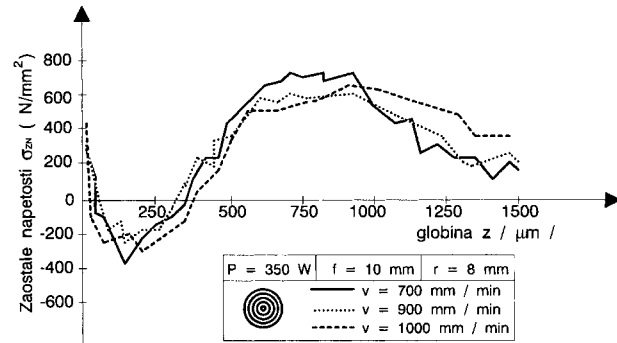
Slika 9: Potek zaostalih notranjih napetosti po laserskem povr[inskom kaljenju (cik - cak, pre-na smer)

Figure 9: Residual stresses profile below the surface after laser surface hardening (zig - zag, traverse direction)

v povr[inski plasti, ki v globini okoli 350 μm spremenijo predznak in preidejo v tla-ne napetosti in nato pri globinah okoli 600 μm zopet preidejo v natezno podro-je. Ve-ja odstopanja smo ugotovili pri topotni obdelavi povr[ine z laserskim snopom, ki je bil voden po povr[ini v obliki koncentri-nih krogov (**slika 10**). ^eprav je nje-govo vodenje po povr[ini obdelovalca simetri-no, pa je v tem primeru topotno obdelana povr[ina manj{a kot v prvem ali drugem primeru. Prav temu je treba pripisati razlike v spremembji poteka in velikosti zaostalih notranjih napetosti. Pri koncentri-no vodenem laserskem snopu po povr[ini obdelovalca dobimo izjemno visoke natezne zaostale notranje napetosti v globini okoli 750 μm z vrednostmi med 600 in 800 N/mm². Absolutna vrednost zaostalih napetosti je bila v tem primeru skoraj za faktor dva do trikrat vi{jja kot v predhodnih primerih. Zaostale notranje napetosti so natezne narave na povr[ini obdelovalca pri vseh na-inih vodenja laserskega snopa in so okoli 400 N/mm², nato postopno padajo do vrednosti ni-pri globini okoli 70 μm. Tla-ne zaostale napetosti se po-javijo torej v globinah, ve-jih od 70 μm, in dose'ajo ponovni prehod v natezno napetost pri 375 μm (**slika 8**), pri 580-650 μm (**slika 9**) in kon-no pri 300-370 μm (**slika 10**). Maksimalna vrednost tla-nih zaostalih napetosti dosega do 400 N/mm² in so glede na na-in vodenja laserskega snopa v zelo razli-nih globinah.

5 SKLEPI

Glede na vse pogosteje zahteve naro-nikov po zago-tavljanju tla-nih zaostalih notranjih napetosti v povr[inski plasti izdelkov nastane vpra{anje, kako le-te tudi za-gotoviti. Praksa je pokazala, da je mo'no kontrolirati zaostale notranje napetosti z modelnimi preizkusni na materialih, ki jih obdelamo z dano tehnologijo v razli-nih obdelovalnih razmerah. Poznavanje zaostalih notranjih napetosti na modelnih preizkusih nam z zadovoljivo zanesljivostjo omogo-a ocenjevati njihovo velikost in potek v strojnih ali orodnih delih.



Slika 10: Potek zaostalih notranjih napetosti po laserskem povr[inskom kaljenju (koncentri-ni krogi)

Figure 10: Residual stresses profile below the surface after laser surface hardening (concentric circles)

Prikazani rezultati o izmerjenih zaostalih notranjih napetostih ka' ejo, kako pomembna je pravilna izbira mehanske in topotne obdelave strojnih delov, da dose'emo dobro vedenje v razli~nih tribolo{kih razmerah in/ali v razli~no dinami~no obremenjenem stanju.

Ugotovitev:

- Zaostale notranje napetosti po laserskem povr{inskem kaljenju jekla OSIKRO special so natezne narave do globine okoli 70 μm , nato pa se glede na na-in vodenja laserskega snopa po povr{ini obdelovanca pojavijo tla-ne zaostale napetosti
- Zaostale notranje napetosti po utrjevanju s pretaljevanjem povr{inske plasti sive in nodularne litine ka' ejo zelo podobne poteke in vrednosti, kot so pri laserskem povr{inskem kaljenju jekel, ~eprav so izrazite mikrostrukturne razlike med pretaljeno in kaljeno cono.

6 LITERATURA

¹ H. W. Bergman: Current Status of Laser Surface Melting of Cast Iron, *Surface Engineering*, 1 (1985) 2, 137-155

² S. Mordike, H. B. Pruel, H. Szengel: Laser Oberflächenbehandlung-eine Productionsreifes Verfahren für vielfältige Anwendungen, *Nove*

tehnologije toplinske obrade metala, Me/unarodno savetovanje, Zagreb, Croatia, 1990, 1-12

³ I. C. Hawkes, W. M. Steen, D. R. F. West: Laser Surface Melt Hardening of S. G. irons; *Proceedings of the 1st international conference on Lasers in manufacturing*, Brighton, Velika Britanija, 1983, 97-108

⁴ Y. Guan, J. P. Montagnon, D. Pantelis, Ph. Poupeau, D. Francois: Laser Surface Treatment of Ferrito-pearlitic Spheroidal Graphite Cast Iron, *Memoires et Etudes Scientifiques Revue de Metallurgie*, 87 (1990) 1, 21-32

⁵ M. Tsujikawa, M. Hino, M. Kawamoto, K. Okabayashi: "Hard - Eye" Ductile Cast Iron and its Treatment by Laser Quenching, Congress Book: *The 8th International Congress on Heat Treatment of Materials, Heat & Surface '92*, Ed.: I. Tamura, Tokyo, Japan, 1992, 441-444

⁶ J. Grum, R. [turm: Microstructure analysis of Nodular Iron 400-12 after Laser Surface Melt-Hardening Procedure, *Materials Characterizations*, 37 (1996) 81-88

⁷ J. Grum, R. [turm: Properties of Laser Surface Melt Hardening on Cast Iron, *Conference on Laser Treatment of Materials ECLAT '96*, Stuttgart, Nem-ija, 501-508

⁸ J. Grum, R. [turm, P. @erovnik: Residual Stresses of Overlapping Laser Melt Hardening of Gray and Nodular Iron, *Fourth European Conference on Residual Stresses*, Cluny en Bourgogne, Francija, 1996, 144-146

⁹ J. Grum, P. @erovnik, R. [turm: Measurement and Analysis of Residual Stresses after Laser Hardening and Laser Surface Melt Hardening on Flat Specimens; *Proceedings of the Conference "Quenching '96"*, Ohio, Cleveland, 1996, 181-191